

(1) 古典物理 vs. 量子物理

牛頓力學 + Maxwell 電磁學 = the core of 古典物理

19世紀末出現與古典物理相抵觸的 exp.  $\Rightarrow$  量子物理.

Are matter and energy continuously divisible?

古典物理: Yes.

量子物理: No, 大部分的物理量是 quantized (量子化的) - 不連續的.

J.J. Thomson 發現  $e^-$ , 說明原先是物質基礎的原子可再被分割,  
 $\rightarrow$  中子、質子的發現, 這些粒子已不可再切割, 直到夸克的發現.

1909 R.A. Millikan 的油滴 exp. 證明電荷是量子化的.

呈現量子性質的粒子如  $e^-$  或 EM waves 可表現古典物理行為, 如在自由空間時,  $e^-$  的 energy 可為任意值. 但在原子尺寸空間中, 古典物理圖象不再正確, 如被束縛在原子中的  $e^-$ , energy is quantized.

Space of atomic scales  $\rightarrow$  Quantum physics.

20世紀初左右的三個實驗開啟量子物理大門:

黑體輻射、光電效應與 Compton 效應、原子光譜.

(2) Blackbody radiation (黑體輻射)

加熱物體  $\rightarrow$  發熱、發光, i.e. 輻射 EM waves:  $P \propto T^4$ .

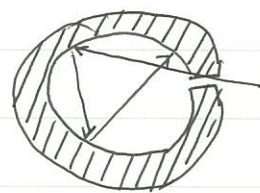
As  $T \uparrow$ , 輻射出的 EM waves  $\lambda \downarrow$ : 暗紅  $\rightarrow$  橙  $\rightarrow$  黃  $\rightarrow$  blue  $\rightarrow \dots$

黑體 = 對 EM waves 吸收率為 1 的物體 (必是黑色)



加熱黑體使其輻射出 EM waves 稱為「黑體輻射」, e.g. Sun

黑体的近似: a hollow piece of any material with a small hole.



→ 進入 cavity 的 EM waves 在未逸出前即被吸收.

∴, when cavity is heated, it 產生黑体輻射.

黑体輻射的特徵:

(i) 輻射的 EM wave 波長分布 depends on  $T$ , not on the material.

(ii) Stefan-Boltzmann law:  $P = \sigma AT^4$ , where

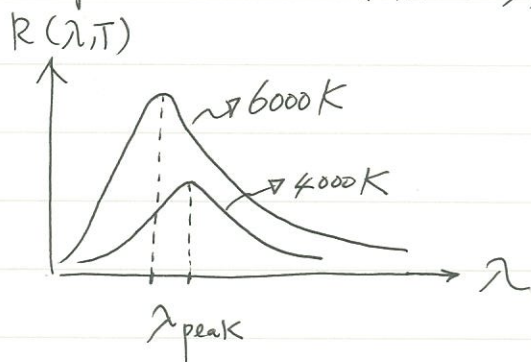
$\sigma = \text{Stefan-Boltzmann constant} = 5.67 \times 10^{-8} \text{ W} \cdot \text{m}^{-2} \cdot \text{K}^{-4}$

$A =$  黑体輻射 EM waves 的總面積

$T =$  絕對溫度.

(iii) Wien's law:  $\lambda_{\text{peak}} \cdot T = 2.9 \text{ mm} \cdot \text{K}$  ( $\lambda_{\text{peak}} =$  發熱物體呈現的主顏色.)

黑体的 radiance (用  $R$  表示) = 單位波長所輻射的 power



∴ 曲線下面積 = 輻射的 total power.

$\lambda_{\text{median}} \cdot T = 4.11 \text{ mm} \cdot \text{K}$

$\lambda_{\text{median}} = \frac{P}{2}$  的分界點.

EM wave 的輻射是由 charged particle 的加速運動所產生.

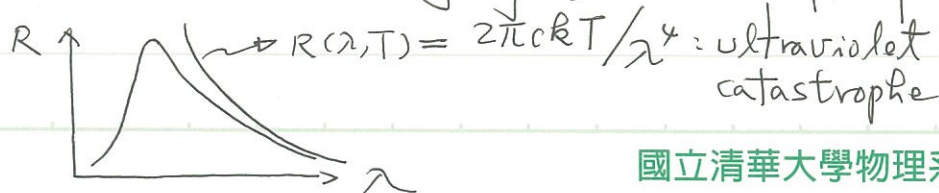
∴ 黑体輻射是由腔壁原子或分子的熱運動產生.

= 振動 in solid  $\cong$  SHM

∴  $T \uparrow$ , 黑体輻射  $\uparrow$ .



1800 年代運用古典物理只能得到符合部分 exp 曲線 (長  $\lambda$  段及短  $\lambda$  段) 的 theory, 如 Rayleigh-Jeans 的紫外災難



直到1900年由 Max Planck 得到符合 exp. 曲線的公式

$$R(\lambda, T) = \frac{2\pi hc^2}{\lambda^5 (e^{hc/\lambda kT} - 1)}, \text{ where}$$

$$h = \text{Planck constant} = 6.63 \times 10^{-34} \text{ J}\cdot\text{s}$$

$k = \text{Boltzmann constant.}$

Planck 以數學天份得到輻射公式後, 進一步思考其物理意義時發現 =

振動的 charged particles (原子或分子) 所具有的能量 is quantized, i.e. 非連續的 energy. 若其振動頻率為  $f$ , 則其能量為  $E = nhf$ ,  $n = 0, 1, 2, 3, \dots$ .

Note:  $h$  is so small that quantum phenomena are usually obvious only in the atomic realm.

輻射 EM wave  $\sim$  吸收 EM wave  $\Rightarrow$  振動的分只吸收或輻射  $hf$  整數倍的 energy.

吸收 EM waves 的分子 jumps to 較高的能量狀態.

[之後將知道分子的振動能階  $E = (n + \frac{1}{2})hf$ , not  $nhf$ ]

### (3) Photons

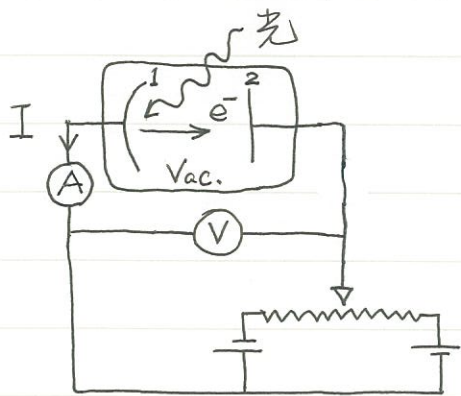
Planck 證實振動的分只吸收 EM waves 以  $hf$  的整數倍交換能量, 則  $\rightarrow$  EM wave 的 energy 是否 quantized?

#### ○ 光電效應

1887 H. Hertz 無意間觀察到 photoelectric effect (光電效應):

EM wave 照射金屬表面, 產生電子.





照光的電極1產生電子(即光電子)  
形成光電流。

若收集光電子的電極2加上夠大的  
負電壓,使光電流為零,此時的電壓,  
稱為 stopping potential  $V_s (> 0)$ 。

$\Rightarrow$  光電子的最大動能  $K_{max} = e \cdot V_s$

古典物理預測光電效應會發生,因為 $e^-$ 受EM wave 搖盪電場的作用,  
運動振幅將增加到足以脫離 metal surface 的 binding.

但因EM wave 的 energy 分布在整個 wave 中,尺寸微小的 $e^-$   
須一段時間才能累積足夠的 energy.

增加光的強度 $I$ ,即增加EM wave 的電場 ( $I \propto E^2$ ),使 $e^-$ 更容易  
在短時間內脫離 metal surface,而EM wave 的 frequency 則對  
 $e^-$ 累積能量無多大作用。

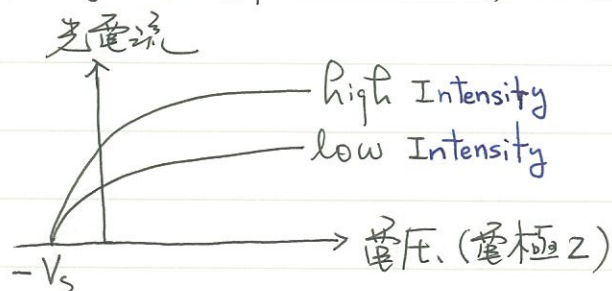
#5 古典物理相抵觸的 exp 觀察:

(i) 光電流瞬間產生, even 以暗淡光照射.

(ii)  $V_s$  #5  $I$  無關.

(iii) 以  $f < f_{cutoff}$  的光照射則無光電流,無論 $I$ 有多大.

以  $f > f_{cutoff}$  光照射時,  $V_s \propto f$ .



1905 Einstein 以光子 (photon) 成功解釋光電效應 =

EM wave = 光子 (~ 粒子)

光子的 energy  $E = hf$  (引用 Planck 的分子振動能量 <sup>量子化</sup>)

$e^-$  一次吸收一個光子的能量。

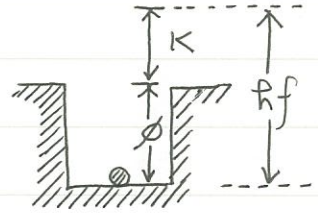
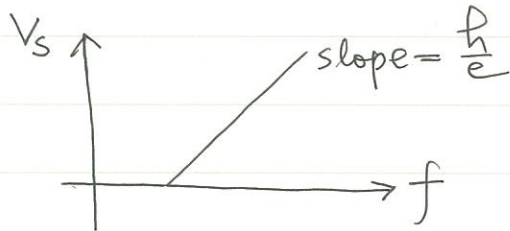
$e^-$  脫離金屬電極束縛的能量為

work function  $\phi$  (為材料性質)

$\rightarrow \phi = hf_{\text{cutoff}}$

$$\therefore E = hf = \phi + K_{\text{max}} = \phi + e \cdot V_s$$

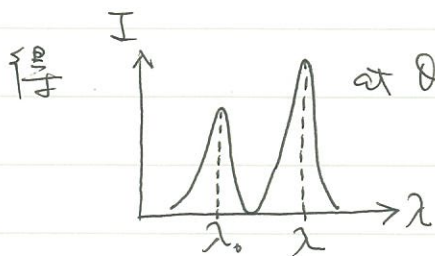
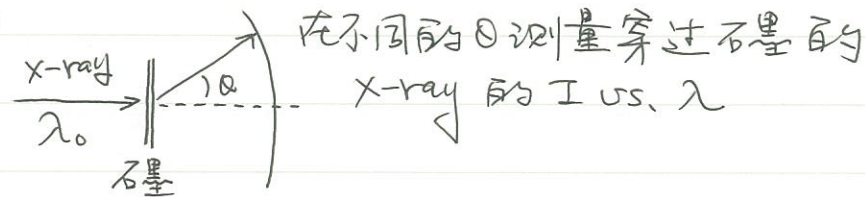
$$\Rightarrow V_s = \frac{h}{e} \cdot f - \frac{\phi}{e} \quad (\text{光電方程式})$$



o Compton effect: 光子行為的再確認

X-ray 與  $e^-$  的交互作用: 古典物理圖象中,  $e^-$  受 EM wave 作用, 產生與 EM wave 同頻率的振動  $\rightarrow e^-$  輻射同頻率的 EM wave with max intensity  $\perp e^-$  的振動方向.

Compton's exp

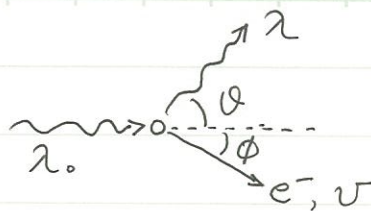


無法以古典物理解釋  $\lambda > \lambda_0$  的散射 X-ray.



$\rightarrow$  以光子學說解釋: EM wave (X-ray) ~ 粒子, 與  $e^-$  作彈性碰撞後喪失部份能量形成  $\lambda (> \lambda_0)$ .

碰撞: 能量 and 動量守恆  
 散射  $e^-$  的 speed 很大須用相對  
 論修正其能量和動量。



波長  $\lambda$  的光子

$$\left. \begin{aligned} & \text{能量} = hf = hc/\lambda \\ & \text{動量} p = \frac{E}{c} = \frac{h}{\lambda} \end{aligned} \right\}$$

$e^-$  的

$$\left. \begin{aligned} & \text{動能} K = (\gamma - 1)mc^2 \\ & \text{動量} p = m \cdot \gamma \cdot v \end{aligned} \right\}, \text{ where } \gamma = \left(1 - \frac{v^2}{c^2}\right)^{-1/2}$$

能量守恆:  $\frac{hc}{\lambda_0} = \frac{hc}{\lambda} + (\gamma - 1)mc^2$  — (a)

動量守恆:  $\Sigma p_x = \frac{h}{\lambda_0} = \frac{h}{\lambda} \cos\theta + p \cos\phi$  — (b)

$\Sigma p_y = 0 = \frac{h}{\lambda} \sin\theta - p \sin\phi$  — (c)

從 (a) ~ (c) 消去  $v$  及  $\phi$  得  $\lambda - \lambda_0 = \Delta\lambda = \frac{h}{mc} (1 - \cos\theta)$   
 (see below)  $\equiv \lambda_c (1 - \cos\theta) = \text{Compton shift}$

where  $\lambda_c = \text{Compton wavelength}$   
 $= \frac{h}{mc} = 0.00243 \text{ nm (or } 2.43 \text{ pm)}$

from (b) and (c)  $\left\{ \begin{aligned} p \cos\phi &= h \left( \frac{1}{\lambda_0} - \frac{1}{\lambda} \cos\theta \right) \text{ — (d)} \\ p \sin\phi &= h \cdot \frac{1}{\lambda} \sin\theta \text{ — (e)} \end{aligned} \right.$

(d)<sup>2</sup> + (e)<sup>2</sup>:  $p^2 = h^2 \left[ \left( \frac{1}{\lambda_0} - \frac{1}{\lambda} \cos\theta \right)^2 + \left( \frac{1}{\lambda} \sin\theta \right)^2 \right] = h^2 \left[ \frac{1}{\lambda_0^2} - \frac{2 \cos\theta}{\lambda_0 \lambda} + \frac{1}{\lambda^2} \right]$

$\because p = \gamma m v, \therefore p^2 = \gamma^2 m^2 v^2$  and  $v^2 = c^2 \left(1 - \frac{1}{\gamma^2}\right)$

$\therefore p^2 = m^2 c^2 (\gamma^2 - 1) = h^2 [ \quad ]$  — (f)

from (a)  $\left. \begin{aligned} \gamma - 1 &= \frac{h}{mc} \left( \frac{1}{\lambda_0} - \frac{1}{\lambda} \right) \\ \rightarrow \gamma + 1 &= \frac{h}{mc} \left( \frac{1}{\lambda_0} - \frac{1}{\lambda} \right) + 2 \end{aligned} \right\} \gamma^2 - 1 = \frac{h^2}{m^2 c^2} \left( \frac{1}{\lambda_0} - \frac{1}{\lambda} \right)^2 + \frac{2h}{mc} \left( \frac{1}{\lambda_0} - \frac{1}{\lambda} \right)$   
 代入 (f)

得  $\lambda - \lambda_0 = \frac{h}{mc} (1 - \cos\theta)$  羅

(4) 原子光譜

1911 Rutherford 的有核原子模型:

$e^-$  圍繞正電荷核運動, 但質量大的正電荷核運動。

古典物理:

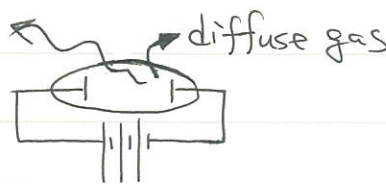
$e^-$  以 EM force 繞行正電核心作加速運動  $\rightarrow$  radiate EM wave.  
 $\therefore$  有核的原子模型無法存在。

(The very existence of atoms is at odds with classical physics.)

o H 原子光譜

高溫物體發射出的是連續  $\lambda$  的 EM waves, 但純化的氣體發光 radiate 出的 EM waves 卻是不連續  $\lambda$ , 此稱為 spectral lines.

各種元素產生本身獨特的 spectral lines (氣體元素指紋)  
 $\rightarrow$  是球氣體的辨認。



1884 J. Balmer: H 的 4 條可見光 spectral lines 的波長間的關係為  $\frac{1}{\lambda} = R_H \left( \frac{1}{2^2} - \frac{1}{n^2} \right)$

$n = 3, 4, 5, 6$  and  $R_H = H$  的 Rydberg 常數  $= 1.097 \times 10^7 \text{ m}^{-1}$

Later, generalized to  $\frac{1}{\lambda} = R_H \left( \frac{1}{m^2} - \frac{1}{n^2} \right)$ , where

$n = m + 1, m + 2, m + 3, \dots$

for Balmer series,  $m = 2$  (可見光)

Lyman series,  $m = 1$  (UV)

Paschen series,  $m = 3$  (IR)

沒有任何 theory 可以解釋。  
 $\rightarrow$  原子模型 + QM.

Why should atoms emit discrete spectral lines?

Why should the Hydrogen lines form patterns:  $\frac{1}{\lambda} = R_H \left( \frac{1}{m^2} - \frac{1}{n^2} \right)$ ?

$\rightarrow$  H 原子結構有關!



(5) Bohr H atom model 物質波 (matter wave)

o 1913 N. Bohr 提出 H atom model 理論以解釋 H 的 spectral lines.

Model: (i)  $e^-$  以圓形軌道繞原子核運轉,  $e^-$  原子核為庫侖力。

(ii)  $e^-$  的角動量  $mvr = n\hbar$ , where  $\hbar = h/2\pi$  and  $n \in \mathbb{N}$ .

i.e.  $e^-$  的角動量 is quantized ( $\rightarrow e^-$  的 energy is quantized)

(古典物理的圓周運動, 半徑、角動量、能量皆可為連續值。)

(iii)  $e^-$  在允許的軌道運轉時不輻射 EM wave. (與古典物理抵觸)

在軌道間躍遷時, 發出或吸收一個光子, 其能量為軌道間的能量差. i.e.

$$E_n - E_m = \Delta E = hf$$

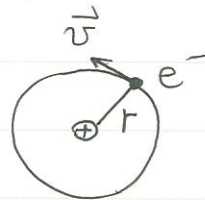
$E_i$  為  $r_i$  時,  $e^-$  的 energy = atomic energy level.

$E_n = ?$

H atom:  $e^-$  圓繞位置固定不動的核 (proton, mass = 1836 mass of  $e^-$ )  
and  $e^-$  的  $v \ll c$ ,  $\therefore$  以非 SR 處理  $e^-$  運動.

From (ii)  $mvr = n\hbar$  and 圓周運動

$$\text{的向心力} = \frac{ke^2}{r^2} = m \frac{v^2}{r}, m \text{ 為 } e^- \text{ mass.}$$



$$\therefore (mvr)^2 = mke^2 \cdot r = (n\hbar)^2$$

$$\therefore r = \frac{\hbar^2}{mke^2} \cdot n^2 = a_0 \cdot n^2 \equiv r_n \text{ (discrete radius)}$$

$$\text{where } a_0 \equiv \frac{\hbar^2}{mke^2} = 0.053 \text{ nm (Bohr radius)}$$

= 最小的軌道半徑.

$$E = K + U = \frac{1}{2}mv^2 - \frac{ke^2}{r} = \frac{1}{2}U \text{ (for } F \propto r^{-2} \text{ 圓周運動)}$$

$$\therefore E = -\frac{ke^2}{2r} \text{ (負號表示 } e^- \text{ is bound to atom)}$$





for  $r = r_n = a_0 \cdot n^2$

$$\therefore E = -\frac{ke^2}{2r_n} = -\frac{ke^2}{2a_0} \cdot \frac{1}{n^2}$$

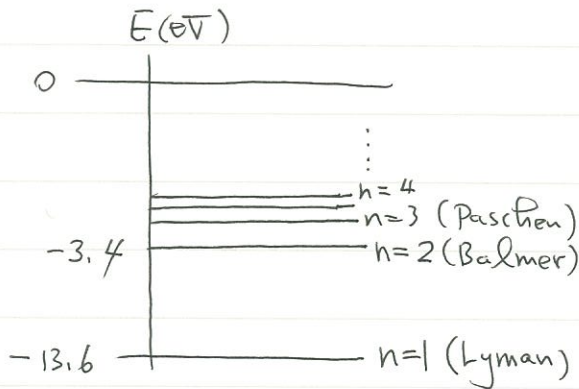
$$\Rightarrow E_n = -\frac{ke^2}{2a_0} \cdot \frac{1}{n^2} = -\frac{13.6\text{eV}}{n^2} \text{ (Bohr Atom energy level)}$$

$$n = 1, 2, 3, 4, \dots \in \mathbb{N}$$

$n=1$  — ground state, 能量最低的狀態

$n \geq 2$  — excited state (激发態)

Ground state 的 H atom 直徑 =  $2r_1 = 2a_0 \sim 0.1\text{nm} = 1 \text{ \AA}$



Energy-level diagram

→ 游離 (ionize) ground state 的 H atom

須 13.6 eV

(為 H 的游離能)

The small discrepancy results from the approximation that the proton is stationary.

$$E_n - E_m = \Delta E \text{ (for } n > m, \text{ emits a photon)}$$

$$= \frac{ke^2}{2a_0} \left( \frac{1}{m^2} - \frac{1}{n^2} \right) = hf = h \frac{c}{\lambda}$$

$$\therefore \frac{1}{\lambda} = \frac{ke^2}{2a_0hc} \left( \frac{1}{m^2} - \frac{1}{n^2} \right) \text{ where } \frac{ke^2}{2a_0hc} = 1.09 \times 10^7 \text{ m}^{-1} \sim R_H$$

∴ Bohr 的 H 原子 model 成功解釋 H 原子光譜! even 單 e<sup>-</sup> 離子  
如 He<sup>+</sup>, Li<sup>2+</sup> and Li, Na (單價金屬元素).

But,

無法解釋其他多 e<sup>-</sup> 原子, even He 的光譜.

根源: model 中的量子化條件缺乏理論基礎

→ Quantum mechanics.



o Matter wave

在古典物理, 波和粒子有明顯界線且不相容, 光是 EM wave.

But Einstein 的光子學說顯示光也是粒子.

→ 被認為是粒子的  $e^-$ ,  $p^+$  是否也有 wave 的特性?

1923 (10 years after Bohr H model) de Broglie 主張如果光波具有粒子特性, 粒子如  $e^-$  或  $p^+$  也應具有波動特性.

光:  $p = \frac{E}{c} = \frac{hf}{c} = \frac{h}{\lambda}$       $\lambda$ : wavelength 專屬於 wave  
 $p$ : 動量, 專屬於 particle.

de Broglie 主張此關係亦適用於 particles

∴ de Broglie wavelength  $\lambda = \frac{h}{p}$ .

De Broglie 用  $e^-$  的波動性質解釋 Bohr model 中  $e^-$  的角動量 is quantized:  
 $e^-$  在允許的軌道上形成 standing wave, ∴ energy 不會 lose.



視  $L$  為  $e^-$  軌道的圓周長  $2\pi r$  ( $A, B$  相連接) 則

$L = 2\pi r = n \cdot \lambda$  (駐波條件)

$= n \cdot \frac{h}{p} = n \cdot \frac{h}{mv}$

⇒  $mv r = n \cdot \frac{h}{2\pi} = n \hbar$  (Bohr model 中的量子化條件)



1927 證實  $e^-$  的波動性質: 低能量電子繞射 (LEED) by Davisson and Germer.

(6) The uncertainty, complementarity and correspondence principles.  
(互補、互存) (相違、一致)

o Uncertainty principle (不準確原理)

古典物理：準確地知道粒子的  $(\vec{r}, \vec{v})$  就能預測粒子的行為。

量子物理：No!

無法同時任意準確地量測 ( $\rightarrow$  知道) 某些 pair 的物理量。

粒子的  $(\vec{r}, \vec{p})$  為其中的一個 pair。

W. Heisenberg's uncertainty principle:  $\Delta x \cdot \Delta p \geq \hbar$  ( $\frac{\hbar}{2}$ ,  $\hbar$  or  $\frac{\hbar}{2}$ )

$\rightarrow$  若可以測量粒子的位置 (即  $x$ ) 準確到誤差  $\Delta x$ , 則無法同時測量粒子動量  $p$  準確到誤差  $\Delta p$  小於  $\hbar/\Delta x$ , i.e.  $p$  的最小誤差  $\Delta p$  只能到達  $\hbar/\Delta x$ .

Why?  $\Rightarrow$  Quantization!

測量 particle 的位置或動量：照光。

但照光對 particle 傳遞 energy, 擾動 particle, 使測量失準。

古典物理：energy 可任意小到形成的擾動可忽略。

量子物理：最小的 energy 為一個光子所帶 energy, 不能任意小。

(i) use low-energy photon (photon 的動量、 $f$  are low) 使傳輸給 particle 的動量降低, 則 particle 的  $\Delta p \downarrow$ 。

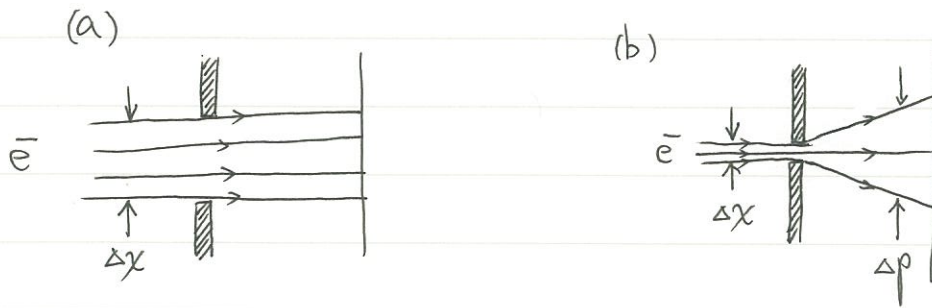
但 low- $f$  表示  $\lambda$  is long, 則空間解析度降低 (diffraction limit: Section 32.6), 造成量測 particle 位置的誤差  $\Delta x \uparrow$ 。

(ii) 如果使用短  $\lambda$  的 photon ( $\rightarrow$  高動量、高能量光子) 以使  $\Delta x \downarrow$ , 但傳輸給 particle 的動量增加, 使 particle 的  $\Delta p \uparrow$ 。

$\Delta x \cdot \Delta p \geq \hbar$  quantifies this trade-off.



Uncertainty principle 与物质波有密切关联:



(a) 用一束  $e^-$  通过较宽的 slit, 则  $e^-$  在垂直方向上的位置误差  $\Delta x$  (= slit 宽度) 较大, 但  $e^-$  在垂直方向上的动量误差  $\Delta p$  较小。  
(绕射现象不明显)

(b) 用较窄的 slit 可以减小  $\Delta x$ , 但此时绕射现象 (wave 特性) 较明显,  $\therefore \Delta p$  增大。

So the wave nature of matter ultimately imposes a trade-off: The more we know of a particle's position, the less we know of its momentum, and vice versa.

另一对无法同时任意准确测量的物理量为 Energy-time pair:

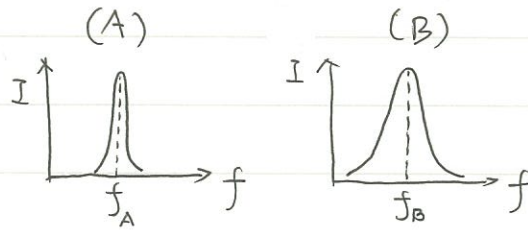
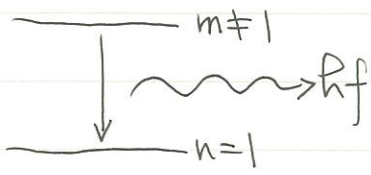
$$\begin{aligned} \Delta x \cdot \Delta p &= \frac{\Delta x}{\Delta t} \cdot \Delta p \cdot \Delta t \\ &= v \cdot \Delta p \cdot \Delta t \\ &= \left(\frac{p}{m} \cdot \Delta p\right) \cdot \Delta t \\ &= \Delta E \cdot \Delta t \quad \left(\because E = \frac{p^2}{2m}, \therefore \Delta E = \frac{1}{2m} \cdot 2p \cdot \Delta p = \frac{p}{m} \cdot \Delta p\right) \end{aligned}$$

$E$ : the energy of a system

$t$ : the time the system remains at energy  $E$ .

例如一个原子可以永久处于一个固定能量状态, 则可用无限长的时间测量此能量, 使  $\Delta E$  无限小。而一般处于 excited state 的原子的 lifetime  $\sim 10^{-8}$  sec, 表示测量此 excited state energy 的时间有限,  $\therefore$  此 energy level 有一个 min 误差

$$\Delta E = \frac{\hbar}{\text{lifetime}}$$



∴ lifetime of excited states A, B:  $\tau_A > \tau_B$ .

o Complementarity principle (互補原理)

量子物理中最令人困惑的就是 - 波動-粒子雙重性 (duality) = 光的物質皆有波動及粒子性質。(even 連 Heisenberg 也感困惑)

互補原理: Bohr 對波-粒雙重性的詮釋

波動和粒子是相同物體的兩個互補性質。

如果進行  $e^-$  繞射實驗則測到的是  $e^-$  的波動行為, 非粒子行為。但如果進行  $e^-$  位置的觀察如  $e^-$  感光板上的光點, 則會看到  $e^-$  的波動行為。

這兩種量測需要不同的 exp. 裝置, 因而無法同時觀察到  $e^-$  的 wave 及 particle 行為。所以如果問「 $e^-$  到底是 particle 還是 wave?」

The answer is 兩者皆是, 而我們所觀察到的  $e^-$  行為完全視我們進行何種 exp. 而定。

o Correspondence principle (對應原理)

古典物理真的錯了嗎? 無法和量子物理相容嗎?  $\Rightarrow$  No!

Bohr's 對應原理:

When 量子效應不明顯時, Quantum physics  $\rightarrow$  classical physics.

量子效應: 空間、 $h$ 、Energy level。原子空間  $\rightarrow$  大、 $h \rightarrow 0$ , 連續 E.

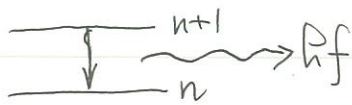
(i) As  $h \rightarrow 0$ , Planck 公式  $\rightarrow$  Rayleigh-Jeans (problem 68)

$$\text{Planck: } R(\lambda, T) = \frac{2\pi hc^2}{\lambda^5 (e^{hc/\lambda kT} - 1)}$$

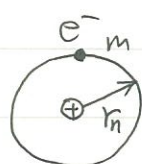
$$\text{As } h \rightarrow 0, e^{hc/\lambda kT} \approx 1 + \frac{hc}{\lambda kT}$$

$$\therefore R(\lambda, T) \approx 2\pi c \cdot kT / \lambda^4 = \text{Rayleigh-Jeans.}$$

(ii) At  $n \gg 1$



Quantum



classically

$$\Rightarrow f = f' \text{ when } n \gg 1.$$

Quantum:

$$f = RC \left[ \frac{1}{n^2} - \frac{1}{(n+1)^2} \right] \approx \frac{RC}{n^2} \left[ 1 - \left(1 - \frac{2}{n}\right) \right] = \frac{2RC}{n^3} \quad \text{where } R = \frac{ke^2}{2a_0 \hbar c} \sim R_H$$

for  $n \gg 1$ ,  $|E_n| \approx |E_{n+1}|$

$$\therefore |E_n| = \hbar f = \frac{\hbar RC}{n^2} \Rightarrow \frac{1}{n^3} = \left( \frac{|E_n|}{\hbar RC} \right)^{3/2}$$

$$\therefore f \approx \frac{2RC}{n^3} = 2RC \left( \frac{|E_n|}{\hbar RC} \right)^{3/2} \quad \text{let } \lambda \propto R$$

$$\rightarrow f = \frac{1}{\pi ke^2} \sqrt{\frac{2}{m} |E_n|^3}$$

Classically,  $f' = \frac{1}{T} = \frac{v}{2\pi r_n}$

$$E = K + U = \frac{1}{2} v^2 = -K$$

$$\left. \begin{aligned} \therefore \frac{1}{2} m v^2 = |E| \rightarrow v = \sqrt{\frac{2|E|}{m}} \\ \frac{ke^2}{2r_n} = |E| \rightarrow \frac{1}{r_n} = \frac{2|E|}{ke^2} \end{aligned} \right\} f' = \frac{1}{2\pi} \cdot \frac{1}{r_n} \cdot v = \frac{1}{\pi ke^2} \sqrt{\frac{2}{m} |E|^3}$$

**Example 34.1** 黑体辐射: 白熾灯泡 (incandescent lightbulb)

白熾灯泡的灯丝由 W 制成, 点亮时灯丝的温度为 3000 K, 视其为黑体, 则 (a) 3000 K 时的  $\lambda_{\text{peak}} = ?$  (b) 比较可见光中间波长 550 nm 与  $\lambda_{\text{peak}}$  的辐射功率  $R = ?$

(a)  $\lambda_{\text{peak}} \cdot T = 2.898 \text{ mm} \cdot \text{K}$ ,  $\therefore \lambda_{\text{peak}} = \frac{2.898}{3000} \text{ mm} = 966 \text{ nm} \in \text{IR}$ .

(b)  $R(\lambda, T) = \frac{\text{constant}}{\lambda^5 (e^{\hbar c / \lambda k T} - 1)}$ , at 3000 K,  $\frac{R(\lambda)}{R(\lambda_{\text{peak}})} = \frac{\lambda_{\text{peak}}^5 (e^{\hbar c / \lambda_{\text{peak}} k T} - 1)}{\lambda (e^{\hbar c / \lambda k T} - 1)}$

for  $\lambda = 550 \text{ nm}$  and  $\lambda_{\text{peak}} = 966 \text{ nm}$ ,  $\frac{R(550 \text{ nm})}{R(966 \text{ nm})} = 0.38$

$\therefore$  白熾灯辐射可见光的效率低  $\rightarrow$  淘汰。

但发 IR 的效率高  $\rightarrow$  保温效果好。



**Example 34.3** Big atoms

星際空間的 H atom 常處於高激發狀態 (Rydberg states), 其大小可達  $\mu\text{m}$  (Rydberg atoms).

(a)  $n=273$  state 的 H atom 直徑 = ?

(b)  $n=273 \rightarrow n=272$  所輻射出的波長 = ?

(a)  $r_n = a_0 \cdot n^2$ ,  $\therefore n=273$  激發態的  $e^-$  軌道直徑  $\approx 2a_0(273)^2 = 7.9 \mu\text{m}$

(b)  $\lambda = [R_H (\frac{1}{272^2} - \frac{1}{273^2})]^{-1} = 92 \text{ cm} - \text{Radio waves.}$

**Example 34.4** 微電子學 (microelectronics)

常用 Al atom dopes 半導體晶片以設定其電性, 若 Al atoms 的速率誤差  $\approx 0.2\%$ , 則其位置誤差為何? (或位置準確度為何?)

$$\Delta x \cdot \Delta p \geq \hbar$$

Now  $\Delta p = m \cdot \Delta v = (26.98 \text{ u}) \cdot (1.66 \times 10^{-27} \text{ kg/u}) \cdot 0.20\% = 9 \times 10^{-27} \text{ kg} \cdot \text{m/s.}$

$\therefore \Delta x \geq \hbar / p = \hbar / 2\pi p = 12 \text{ nm} \Rightarrow$  位置精準到  $12 \text{ nm.}$

$\therefore$  Uncertainty principle 是製造微電子構造的天然限制。

**Example 34.5**

用測不準原理估計 (a) 局限在  $0.1 \text{ nm}$  (原子尺寸) 的  $e^-$ , (b) 局限在  $1 \text{ fm}$  (原子核大小) 的 proton 的可能最低能量。

$\Delta x =$  粒子被局限的尺寸。from  $\Delta p \rightarrow p \rightarrow E$ ,  $\therefore \Delta p = ?$

若粒子的動量大, 為  $p$ , 因  $\vec{p}$  具方向,  $\therefore \vec{p}$  可能向右 or 向左  $\Rightarrow$  動量的不確定量  $\approx \Delta p = p - (-p) = 2p$ .

$\therefore \Delta p \geq \frac{\hbar}{\Delta x} \rightarrow p \geq \frac{\hbar}{2\Delta x} \rightarrow k \geq \frac{1}{2m} \left(\frac{\hbar}{2\Delta x}\right)^2$  (非 SR)

$\therefore$  (a)  $k \geq \frac{1}{2m_e} \left(\frac{\hbar}{2 \times 0.1 \text{ nm}}\right)^2 \sim 1 \text{ eV}$

(b)  $k \geq \frac{1}{2m_p} \left(\frac{\hbar}{2 \times 10^{-15}}\right)^2 \sim 5 \text{ MeV.}$

